7 Referências bibliográficas

- CARNEIRO, D. D.; WU, T. Taxa de Sacrifício e Desgaste da Política Monetária em 2004. Carta Econômica Galanto. Março, 2004.
- CLARIDA, R.; GALI, J.; GERTLER, M. Monetary Policy Rules and Macroeconomic Stability: Evidence and some theory. *Quarterly Journal of Economics*, Vol. 115, 145-180, 2000.
- ----- The Science of Monetary Policy: a New Keynesian Perspective. *Journal of Economic Literature*, Vol 37, 1661-1707, 1999.
- CUKIERMAN, A.; GERLACH, S. **The Inflation Bias Revisited: Theory and Some International Evidence.** *The Manchester School*, Blackwell Publishing Vol 71 (5), 541-565, 2003.
- CUKIERMAN, A. Non Linearities in Taylor Rules Causes, Consequences and Evidence. Economic Annual Meeting of the Central Bank of Uruguay. Mimeo, 2004.
- DOLADO, J. J.; MARÍA-DOLORES, R.; NAVIEIRA, M. Are Central Banks' Reaction Functions Asymmetric? Evidence for Some Central Banks. Discussion Paper no. 2441, CEPR, London, 2000.
- the Role of Nonlinear in the Phillips Curve. European Economic Review. No Prelo.
- DOLADO, J. J.; MARÍA_DOLORES, R.; RUGE-MURCIA, F. J. Nonlinear Monetary Policy Rules: Some New Evidence for the U.S. Discussion Paper no. 3405, CEPR, London, 2002.
- DORNBUSCH, R. Expectations and Exchange Rates Dynamics. *Journal of Political Economy*, Vol 84 (6), 1161-1176, 1976.
- EDWARDS, S. Crises Prevention: Lessons from Mexico and East Asia. *NBER Working Papers*, w7233, 1999.
- ----- Interest Rate Volatility, Capital Controls and Contagion. *NBER Working Papers*, w6756, 1998.
- FRANCO, G. H. B. **O Plano Real e Outros Ensaios** 2ª Edição. Rio de Janeiro, 1995.

- GARCIA, M. G. P.; DIDIER, T. Very High Interest Rates and the Cousin Risks: Brazil During the Real Plan. Pesquisa e Planejamento Econômico, Vol 33 (2), 253-297, 2003.
- -----; OLIVARES LEANDRO, G. A. **O Prêmio de Risco da Taxa de Câmbio no Brasil durante o Plano Real**. *Revista Brasileira de Economia*, Vol 55 (2), 2001.
- -----; VALPASSOS, M. V. Capital Flows, Capital Controls and Currency Crisis: The Case of Brazil in the Nineties. Em: Larrain, Filipe (org) "Capital Flows, Capital Controls & Currency Crises. Latin America in the 1990's". v1, 2000.
- GOLDFAJN, I.; CARDOSO, E. Capital Flows to Brazil The Endogenity of Capital Controls. *IMF Staff Papers*, Vol 45 (1), 1998.
- GUIMARÃES, E. A. O Viés do IGP e Suas Conseqüências. *Mimeo*, 2003.
- HAMILTON, JAMES D. **Time Series Analysis**. New Jersey. Princeton University Press, 1994.
- MUNDELL, R. A. The Monetary Dynamics of Internacional Adjustment under Fixed and Flexible Exchange Rates. *Quarterly Journal of Economics*, Vol. 84, 227-257, 1960.
- MINELLA, A.; FREITAS, P. S.; GOLDFAJN, I.; MUINHOS, M. K. Inflation Targeting in Brazil: Lessons and Challenges. *Working Paper Series* no. 53. Banco Central do Brasil, 2002.
- PASTORE, A. Por que a Política Monetária Perde a Eficácia?. Revista Brasileira de Economia, 50, 1996.
- PERRON, P. The Great Crash, the Oil Price Shock and the Unit Root Hypothesis. *Econometrica*, Vol 57 (6), 1361-1401, 1989.
- RUGE-MURCIA, F. J. The Inflation Bias When the Central Banker Targets the Natural Rate of Unemployment. *European Economic Review*, Vol 48, 91-107, 2004.
- SALGADO, M. J.; GARCIA, M. G. P.; MEDEIROS, M. C. Monetary Policy During Brazil's Real Plan: Estimating the Central Bank's Reaction Function. *Revista Brasileira de Economia*, No prelo.
- TAYLOR, J. B. Recent Developments in the Use of Monetary Policy Rules. Stanford University. *Mimeo*, 2000.
- ------ Discretion Versus Policy Rules in Practice. Carnegie-Rochester Conference Series on Public Policy 39, 195-214, 1993.

WILLIAMSON, J. A Economia Aberta e a Economia Mundial: um Texto de Economia Internacional. Rio de Janeiro. Editora Campus, 1989.

WOODFORD, M. **Interest and Prices**. New Jersey. Princeton University Press, 2003.

-----; ROTEMBERG, J. An Optimization-Based Econometric Model for the Evaluation of Monetary Policy. *NBER Technical Working Papers* no. 233, 1998.

Apêndice 1 – O modelo de Markov-Switching

Neste Apêndice iremos descrever o processo de estimação de *Markov-Switching* utilizado na avaliação empírica desenvolvida no capítulo 4. A idéia central é estimar parâmetros que possam mudar de acordo com sub-amostras do conjunto de dados. Hamilton (1994) apresenta detalhes de derivação da estimação. De forma genérica, a equação (a1) descreve o processo que queremos estimar.

$$\mathbf{y}_{t} = \mathbf{b}_{s_{t}} \mathbf{x}_{t} + \mathbf{\varepsilon}_{t} \quad \text{eq(a1)}$$

onde $\mathbf{\varepsilon_t} \sim \text{iid N}(0,\sigma^2)$. O objetivo será estimar o estado da natureza $\mathbf{s_t}$ como sendo uma variável latente que segue uma cadeia de Markov de N estados distintos, assumindo que $\mathbf{s_t}$ e $\mathbf{\varepsilon_t}$ são independentes para todo t e τ . Por fim, em um processo com N estados da natureza distintos temos que $\mathbf{s_t} \in [1,2, ..., N]$ e dizemos que quando $\mathbf{s_t} = j$ temos o processo no j-ésimo estado da natureza.

A equação (a1) é a representação vetorial mais genérica possível para um processo gerador de dados cujos parâmetros seguem uma cadeia de Markov. Seja $\mathbf{y_t}$ um vetor (n x 1), contendo as observações da variável explicada. A matriz $\mathbf{x_t}$ é composta por todas as variáveis explicativas incluindo defasagens da própria variável, variáveis exógenas contemporâneas e defasadas e o intercepto.

Seja $\mathbf{Y_t} = (\mathbf{y_t}', \mathbf{y_{t-1}}', \dots, \mathbf{y_{-m}}', \mathbf{x_t}', \mathbf{x_{t-1}}', \dots, \mathbf{x_{-m}}')'$ um vetor que contem todas as observações até a data t. Se o processo for governado pelo estado da natureza $\mathbf{s_t} = j$, na data t, então a densidade condicional de $\mathbf{y_t}$ é dada pela equação (a2):

$$f(\mathbf{y}_t | s_t = j, \mathbf{x}_t, \mathbf{Y}_{t-1}; \boldsymbol{\alpha}) \text{ eq(a2)}$$

onde α é um vetor de parâmetros que caracterizam a densidade condicional. Havendo N diferentes regimes haverá N diferentes densidades, representadas para cada $j=1,\,2,\,...\,$, N. Ou seja, a equação (a2) nos diz que a função de densidade depende apenas do estado da natureza corrente e não dos estados passados. E ainda, assumimos que os estados da natureza seguem uma Cadeia de Markov, isto é, o estado da natureza corrente depende apenas do estado da natureza

imediatamente anterior, independente das demais variáveis ou da trajetória pregressa de estados da natureza, o que implica em dizer que $\Pr\{s_t = j \mid s_{t-1} = i, s_{t-2} = k, ..., \mathbf{Y_{t-1}}\} = \Pr\{s_t = j \mid s_{t-1} = i\} = p_{ij}.$

Assim, construímos um vetor (N x 1), chamado η_t , que agrega cada uma das funções de densidade condicional dados os estados da natureza, como mostra a equação (a3). A forma funcional dessas densidades depende da hipótese de normalidade dos erros.

$$\mathbf{\eta_{t}} = \begin{bmatrix} \mathbf{f}(\mathbf{y_{t}} | s_{t} = 1, \mathbf{x_{t}}, \mathbf{Y_{t-1}}; \boldsymbol{\alpha}) \\ \mathbf{M} \\ \mathbf{f}(\mathbf{y_{t}} | s_{t} = \mathbf{N}, \mathbf{x_{t}}, \mathbf{Y_{t-1}}; \boldsymbol{\alpha}) \end{bmatrix} = \begin{bmatrix} \frac{1}{\sqrt{2\pi\sigma}} \exp\left\{\frac{-(\mathbf{y_{t}} - \mathbf{b_{1}} \mathbf{x_{t}})^{2}}{2\sigma^{2}}\right\} \\ \mathbf{M} \\ \frac{1}{\sqrt{2\pi\sigma}} \exp\left\{\frac{-(\mathbf{y_{t}} - \mathbf{b_{N}} \mathbf{x_{t}})^{2}}{2\sigma^{2}}\right\} \end{bmatrix} \quad \text{eq(a3)}$$

Além dos parâmetros presentes no vetor α , que caracterizam as funções de distribuição vistas na equação (a3), ainda há outros parâmetros populacionais que na dinâmica da séries, que são as várias probabilidades de transição p_{ij} . Mesmo assim, se unirmos todos os parâmetros em uma vetor θ e assumir conhecido este vetor, ainda assim, não seria conhecido o estado da natureza vigente a cada instante do tempo.

Desta forma, é preciso definir qual a inferência ótima dos estados da natureza. Seja $\Pr\{\mathbf{s_t} = j \mid \mathbf{Y_{t-1}}; \mathbf{\theta}\}$ esta inferência sobre o valor de $\mathbf{s_t}$ baseada nos dados coletados até a data t, supondo o vetor $\mathbf{\theta}$ conhecido. E, para cada j = 1, 2, ..., N, armazenamos a probabilidade associada como um elemento do vetor (N x 1) denotado por $\mathbf{\xi_{t|t}}$. Por fim, seja $\mathbf{\xi_{t+1|t}}$ o vetor com as probabilidades, para cada estado da natureza, de o estado futuro ser o j-ésimo estado da natureza descrito, portanto, por $\Pr\{\mathbf{s_{t+1}} = j \mid \mathbf{Y_t}; \mathbf{\theta}\}$. As equações (a4) e (a5) descrevem o processo iterativo capaz de gerar inferências e previsões ótimas, para cada data t da amostra.

$$\begin{aligned} \xi_{t|t} &= \frac{\left(\xi_{t|t-1}.* \boldsymbol{\eta}_{t}\right)}{\mathbf{1}'\left(\xi_{t|t-1}.* \boldsymbol{\eta}_{t}\right)} & \text{eq(a4)} \\ \xi_{t+1|t} &= P \xi_{t|t} & \text{eq(a5)} \end{aligned}$$

Na equação (a4) 1 denota um vetor (N x 1) em que todos os elementos são iguais a 1, a notação .* indica multiplicação dos vetores elemento a elemento, e a matriz \mathbf{P} é a matriz de transição onde o elemento da i-ésima coluna e j-ésima linha corresponde a probabilidade de transição p_{ij} . Perceba que, com esta notação, o somatório de cada coluna da matriz \mathbf{P} é obrigatoriamente igual a 1.

Deste modo podemos escrever a função de log-verossimilhança $L(\theta)$ para as observações Y_t calculada com base nos valores de θ utilizados nas iterações das equações (a4) e (a5) como mostra a equação (a6).

$$L(\boldsymbol{\theta}) = \sum_{t=1}^{T} \log(f(\mathbf{y}_{t} \mid \mathbf{x}_{t}, \mathbf{Y}_{t-1}; \boldsymbol{\theta})) = \sum_{t=1}^{T} \log(1'(\boldsymbol{\xi}_{t|t-1}.* \boldsymbol{\eta}_{t})) \quad \text{eq(a6)}$$

Definimos, então, uma função de máxima verossimilhança em função dos parâmetros do vetor θ . Podemos, então, encontrar numericamente os parâmetros que maximizam a função $L(\theta)$ e, assumindo uma condição inicial para $\xi_{1|0}$, que atenda apenas à exigência de ser descorrelatada dos demais parâmetros, é possível mostrar que a melhor estimativa para as probabilidades de transição p_{ij} é dada pela equação (a7).

$$p_{ij} = \frac{\sum_{t=2}^{T} \Pr\{s_t = j, s_{t-1} = i \mid \mathbf{Y}_t; \mathbf{\theta}\}}{\sum_{t=2}^{T} \Pr\{s_{t-1} = i \mid \mathbf{Y}_t; \mathbf{\theta}\}} \quad \text{eq(a7)}$$

Ou seja, a probabilidade p_{ij} estimada consiste basicamente do número de vezes que o regime j aparenta ter sido antecedido pelo regime i. Calculadas as probabilidades de transição, para concluir a estimação dos parâmetros que compõem o vetor θ , falta obter um estimador para a matriz \mathbf{b} .

Hamilton (1994) mostra que o estimador da matriz **b** satisfaz à condição de ortogonalidade de uma estimação de mínimos quadrados ordinários ponderada pela matriz de probabilidade. Sendo β esta estimação da matriz de parâmetros **b**, as equações (a8), (a9) e (a10) apresentam como obter esta matriz.

$$\beta = \left[\sum_{t=1}^{T} \left[\tilde{\mathbf{x}}_{t}(\mathbf{j}) \right] \left[\tilde{\mathbf{x}}_{t}(\mathbf{j}) \right]^{-1} \left[\sum_{t=1}^{T} \left[\tilde{\mathbf{x}}_{t}(\mathbf{j}) \right] \left[\tilde{\mathbf{y}}_{t}(\mathbf{j}) \right] \right] \quad \text{eq(8)}$$

$$\tilde{\mathbf{y}}_{t}(\mathbf{j}) = \tilde{\mathbf{y}}_{t} \sqrt{\Pr\{\tilde{\mathbf{s}}_{t} = j \mid \mathbf{Y}_{t}; \mathbf{0}\}} \quad \text{eq(9)}$$

$$\tilde{\mathbf{x}}_{t}(\mathbf{j}) = \tilde{\mathbf{x}}_{t} \sqrt{\Pr\{\tilde{\mathbf{s}}_{t} = j \mid \mathbf{Y}_{t}; \mathbf{0}\}} \quad \text{eq(10)}$$

Por fim a variância dos resíduos, σ^2 , é calculada de acordo com a equação (a11).

$$\sigma^{2} = \mathbf{T}^{-1} \sum_{t=1}^{T} \sum_{t=1}^{T} (\mathbf{y_{t}} - \mathbf{z_{t}}' \boldsymbol{\beta_{j}})^{2} \Pr{\{\mathbf{s_{t}} = j \mid \mathbf{Y_{t}}; \boldsymbol{\theta}\}} \quad \text{eq(a11)}$$

Desta forma, estimada a matriz β , podemos voltar nas equações (a4) e (a5) e reestimar a probabilidade de ocorrência de cada estado da natureza, dados os novos parâmetros. Teremos então que maximizar, novamente, as função de logverossimilhança, a fim de obter novas probabilidades de transição e novos parâmetros para a matriz β . Este processo deve ser repetido até que se encontre a convergência da função de log-verossimilhança, indicando assim o conjunto de parâmetros que nos leva a um máximo local da função.

Finalmente, a matriz β é composta por N vetores que correspondem aos parâmetros em cada um dos estados da natureza. E, como vimos na equação (8), estes parâmetros são calculados a partir de N regressões lineares, de modo que podemos construir as estatísticas de teste para os coeficientes da matriz β de modo usual.

Apêndice 2 – Teste de Estacionariedade da Taxa Selic

No exercício empírico realizado no capítulo 4 temos um possível problema de presença de raiz unitária na série explicada, isto é, na taxa Selic. Ao longo do trabalho desenvolvemos alguns argumentos qualitativos que nos fazem rejeitar a hipótese de não-estacionariedade.

Além disso, em função do reduzido tamanho da amostra, os resultados dos testes em prol da presença de raiz unitária são questionáveis, já que a probabilidade de aceitar a hipótese nula quando ela é falsa é muito grande, isto é, a potência do teste é muito baixa.

Mesmo assim, utilizamos o teste de Phillips-Perron e rejeitamos fortemente a hipótese de não estacionariedade. Para isso, primeiro fazemos uma regressão do nível da taxa Selic em um intercepto, uma tendência determinística e *dummies* para os períodos de crise. Em seguida utilizamos os resíduos desta regressão no teste de Phillips-Perron.

O objetivo é expurgar o comportamento assintótico que a taxa Selic aparenta ter. Assim utilizamos duas séries diferentes para a tendência, a primeira foi simplesmente {1/t} e a segunda {ln(t)/t}, onde t é o tempo. O gráfico (b1) mostra a série da taxa Selic, bem como as séries de tendência que utilizaremos, e os períodos sombreados correspondem às intervenções.

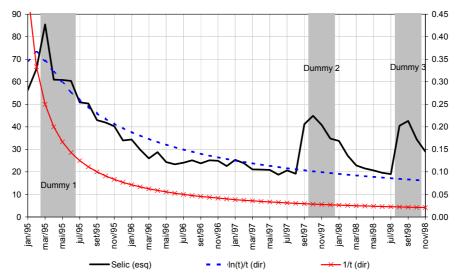


Gráfico (b1): Taxa Selic, Tendências Determinísticas e Dummies

Portanto, realizamos duas regressões, uma utilizando a primeira tendência, ou seja, ln(t)/t e a segunda alterando a série utilizada como tendência determinística, passando a usar a série 1/t. Feitas estas regressões aplicamos o teste de Phillips-Perron nos resíduos obtidos. Os valores críticos do teste, em cada um dos dois casos, correspondem, respectivamente a -5,10 e -5,04. Por fim, as estatísticas tabeladas para o tese dados os níveis de significância de 1%, 5% e 10% valem -2,62, -1,95 e -1,61. E, deste modo, o teste rejeita fortemente a hipótese nula de presença de raiz unitária.